

**57700.36—
2021**

,

1 « *

- » (« ») - *

« — *

- » (« - »)

2 700 «

»

3 16 2021 N 980-

4

29 2015 . 162- « 26 -

) « (1

— »,

() «

». ,

—

(www.gost.ru)

1	1
2	1
3	1
4	3
5	4
6	4
6.1	4
6.2	5
6.3	6
6.4	6
6.5	7
6.6	7
6.7	7
6.8	8
6.9	8
7	8
8	10
9	11
10	13
11	13
	()	15
	()	24

High-performance computing systems. Performance evaluation of high-performance computing systems on algorithms using convolutional neural network

— 2022—01—01

1

(), (), (), ().

2

57700.27

« »,

« »

().

3

57700.27,

3.1 (artificial intelligence):

	()	-
	,	,	-
3.2	(machine learning):		-
3.3	(training):		-
	/	,	
3.4	(neural network):	,	-
3.5	(algorithm):		-
3.6	(machine learning framework):	,	-
3.7	(benchmark):	,	-
3.6	(multiply-accumulate,):	-
- $b+$	$d - b +$		-
	,		-
3.9	(relative real performance):		-
3.10	(computing ceil):		-
3.11	(homogeneous computing components):		-
3.12	(neural network layer):	,	-
3.13	(back propagation):	:	-
3.14	(convolutional layer):	,	-
3.15	{convolutional neural network};	:	-
3.16	(input):		-
3.17	(input):	,	-
3.18	(output):		-
3.19	(output):	,	-
3.20	(weights):	,	-
3.21	(neural network architecture):	,	-
	,	,	-
3.22	(inference):		-
3.23	(batch size, batchsize):	,	-

3.24	(implementation of a convolutional neural network):	-
3.25	(reference implementation of a convolutional neural network):	-
3.26	(correct implementation of a convolutional neural network):	-
3.27	(high-performance implementation of a convolutional neural network):	-
3.28	(forward):	-
3.29	(feature map):	-
3.30	(backward):	-
3.31	(residual):	-
3.32	(gradient calculation):	-
3.33	(gradient):	-
3.34	(updating weights):	-
3.35	(training iteration):	-
3.36	(filter):	-
3.37	(bias):	-
3.38	(pooling kernel):	-
3.39	(channel):	-
3.40	/ (stride):	-
3.41	(padding):	-

4

X	—	()	:
V	—	()	:
	—		;

$'out$ — ;
 $L.LA.L2$ — () ;
 $F.F1.F2$ — ;
 — ;
 R_r — ;
 R — ;
 S — ;
 P^* — ;
 P_y — ;
 P — ;
 ReLU — (rectified linear unit);
 G — ;
 $Bx1$ — ;
 $Bx2$ — ;
 — ;
 CKO — ;
 — ;
 — ;
 $/$ — ;

5

• : 6.
 , ;
 • 7. -
 ; ,
 - , 8;
 * , 9.

6

, -
 . (.)
 , -

6.1

6.1.1

6.1.2

(X, Y, L) — X —
 (R_x, R^A, L) , R_x — F —
 (R, L, F) *

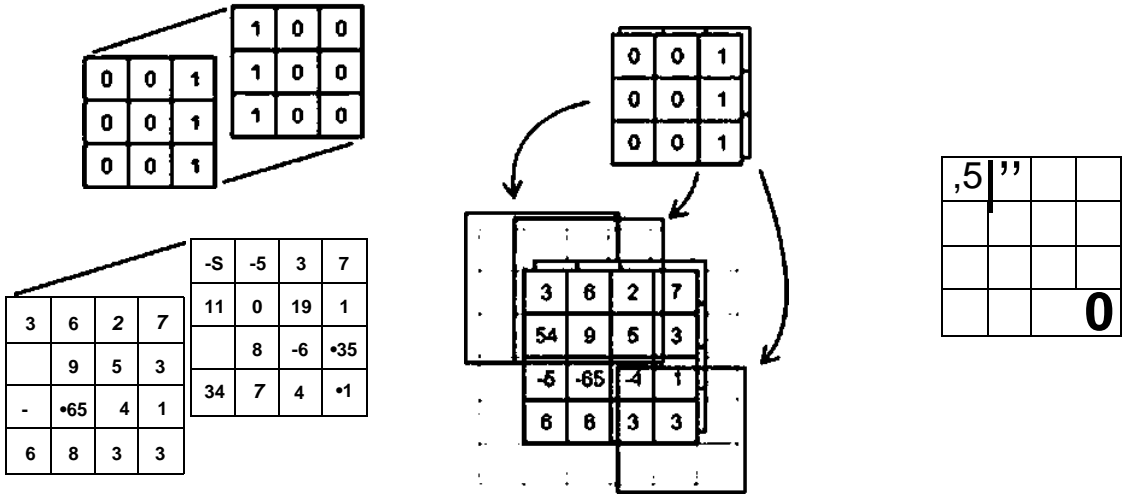
(1. R_x , R_y , L).

(. F). X_{out} —

1.

() S.

$$X_{out} = \frac{X + 2P_x - R_x}{Z} \cdot \frac{Y + 2P_y - R_y}{Z} \cdot Y_{out} \quad (1)$$



1—

$$X = 4, \quad = 1, \quad R_x = R_y = 3, \quad S_x = S_y = 1$$

1

2

6 .2

6.2.1

(, pooling layer)

6.2.2

(. X , Y , L). — X —

(, max pooling)

$$R_y$$

$$(1, R_x, R_y, Y)n$$

(, average pooling).

R_x

(. Y_{out} , L). —

S:

{ }

S.

*

$$\frac{X + 2P_x - R_x - Y + 2P_f - R_f}{S' - S} \quad (2)$$

()

1

2

(, ced mode)

3

(, global).

4

6 .3

6.3.1

(, rectified linear uni! —)

6.3.2

(. X. L). — . X —

. Y — . L — ,

*

1

«ReLU».

2

«ReLU».

3

6 .4

6.4.1

(, concat)

6.4.2

(. X. Y. L1) (. X. , L2) *

— . X— . — . £1 L2 — .

(. X. . L1+L2) L1 -

L2 -

1

2

6.5

6.5.1

(, split)

6.5.2

(, X, , L) , —
(, X, , L1) (, X, , L-L1) ,
 ,
 .

1

2

6.6

6.6.1

(, depthwise convolution layer)

6.6.2

(, X, , L). — . X —
 ,
(R_x, R_y), R_x — L_x , R_y — L_y ,
(R_x, R_y, L).
L ,
(1, R_x, R_y, 1). ,
 ,
 , 8
(0, 1, 0, L), ^ —
 . 0/1 —
 S:
() S.

1

2

6.7

6.7.1

(, elementwise)

6.7.2

— X — L — (X, L) —

1

«eittwtse».

2

3

6 .8

6.8.1

(, fully connected layer)

6.8.2

(8. X, L). 8 — X —
 F — L — (F, L, X) ,
 F —
 $(1.1. F)$.

1

«dense», «inner product», «linear».

2

6 .9

6.9.1

(, shuffle layer)

6.9.2

(8. X, L), 8 — X —
 L — G .
 fno —
 $/ ((L/G)+(L/G))-G$. (4)

1

2

7

7.1

: « », « ». « ». « ». « » « ».

2.

7.2

.1— .6

7.3

« / »;

« 1 » «8x2»

« 2 » «•»;

« 1 » « 2 » «.1».

«.2»,

«X» « »

«L1» «L2»

«12» «-»:

«F1» «F2»

«F2» «•»;

«F1»

«L1»;

R_x R_y ;

«R» «R» «*»:

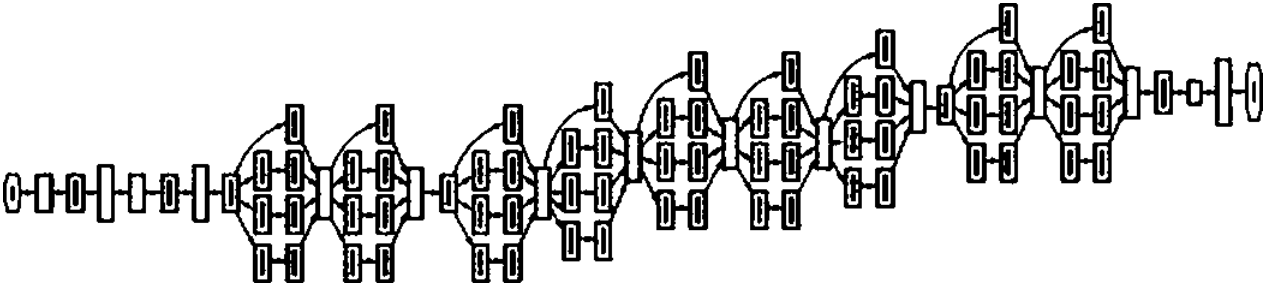
«S» «=»;

« »

«•»;

«G» G;

«G» «-».



8

8.1

8.2

-127 -1 128.

-1 1;

-127 128;

WE[/. —

IWp]. J—

WA WE[/];

) , 10^{n1E>} OVJi] 1.

WE[/ IWp] !* - 10ⁿ¹⁰.

WE[fI VWp) 1; SUM

i.

SUM - £ i (5)

i :: SUM

>. »2 „ ^2

SUM V $\frac{-\epsilon_1^* 1}{-}$ + V (

CKO SUM;

10^{n*}.

10^{t4}.

- 10".

• , :

• 10⁻².

• ;

* , , ;

9

9.1 , -

9.2 -

9.3 3. -

- :

- ;

(,)

- ;

- / ;

- ;

- 8; ;

- 1 000 000 ,

- ;

- 1 , (N 1000);

- ,

-

- ,

- ;

- ;

« , (float);

- :

« ;

- , N :

- , 72

- (72 - 71)/ 3.

9.4 :

- ;

(,)

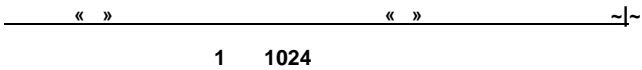
- ;

- , -
- :
100: /
:
• 4;
• (, -
, ,).
6. ,
/ .

1

2

. 8=55. 20400



4 —

10

- : -
- ; -
- , -
- , -
- ; -
- , -

11

11.1

• :
: (float),
(half float),
32 , 16;

//

```

for (b=0;b<B;b++)
  for (l=0;l<L;l++)
    for (x=0;x<Xix++)
      for (y=0;y<Y;y++)
        IN.DMxMyjm = 0;
for (b=0;b<B;b++)
  for (l=0;l<L;l++)
    for (x=0;x<Xoutuc++)
      for (y=0;y<Yout;y++)
        for (rx = 0;rx<Rx;rx++)
          for (ry = 0;ry<Ry;ry++)
            if (x'S+rx-Px >= 0)
              if (y'S+ry-Py >= 0)
                if (x'S+rx-Px < X)
                  if (y'S+ry-Py < Y)
                    for (f=0;f<F;f++)
                      IN_D(bJx'S+rx-Px)[y'S+ry-Py][l] += OUT_D[b][x][y](f) * FILTERS{rx}[ry][l][f];

```

```

for (f=0;f<F.-f++)
  for (l=0;l<L:l++)
    for (rx = 0;rx<Rx;rx++)
      for {ry = 0;ry<Ry;ry++} {
        FILTERS_D[rx][ryP][f] = 0;
        for (b=0;b<B;b++)
          for (x=0;x<Xout;x++)
            for (y=0;y<Yout;y++)
              (x'S+rx-Px >= 0)
              if (y'S+ry-Py >= 0)
                if (x'S+rx-Px < X)
                  if (y'S+ry-Py < Y)
                    FILTERS_D[rx][ry][l][f] += IN[b][x'S+rx-Px][y'S+ry-Py][l] * OUT_D[b][x][yJ(f);
              }
      }
for (f=0;f<Frf++){
  BIASES_D[f] = 0;
  for (b=0;b<B;b++)
    for (x=0;x<Xoutx++)
      for (y=0;y<Yout;y++)
        BIASES D[f] += OUT D[b][x](y){f}:
  )

```

(I

```

for (f=0;f<F:f++){
  BIASESffl += (BIASES_D[f])/B;
  for (rx=0;rx<Rx;rx++)
    for (ry=0;ry<Ry;ry++)
      for (l=0;KL:l++)
        FILTERS[rxJ(ry)[f](f) += (FILTERS_D[rx][ry)p][f])/B;
}

```

OUT_D — , BIASES_D — , IN — , IN_D — , OUT — , FILTERS — , FILTERS_D — ,

```

float IN{B}[XKY][L];
float IN D{B}[X][YJL];
float OUTIBMxoutKYoutjn.];
float OUT D{B}(Xout)(YoutJJLJ:

```

```

for (b=0;b<B;b++)
for (1=0; l<L;l++)
for (x=0;x<Xout;x++)
for (y=0;y<Yout;y++) (
FIRST = 0;
for (rx = 0;rx<Rx;rx++)
for (ry = 0;ry<Ry;ry++)
if ((x'S+rx-Px >= 0)&& (y'S+ry-Py >= 0)&& if (x'S+rx-Px < X)&& if (y'S+ry-Py < Y)) {
if (FIRST == 0){
FIRST = 1;
RES = IN[b][x'S+rx-Px][y'S+ry-Py][l];
}else{
if (RES < IN[b][x'S+rx-Px][y'S+ry-Py][l])
RES = IN[b][x'S+rx-Px][y'S+ry-Py][l];
}
} else {
if (FIRST = 0){
FIRST = 1;
RES = 0;
}else{
if (RES < 0)
RES=0;
}
}
}
OUHbMyJPI = RES;
}

```

//

```

for (b=0;b<B;b++)
for (1=0;1<1 ++)
for (x=0;x<X;x++)
for (y=0;y<Y;y++)
<N_D(b)(x)(y)(l) = 0;
(or (b=0;b<B;b++)
for (1=0: KLl++)
for (x=0;x<Xoutl;x++)
for (y=0;y<Youty++)
for (rx = 0;rx<Rx;rx++)
for (ry = 0;ry<Ry;ry++)
if ((x'S+rx-Px >= 0)&& (y'S+ry-Py >= 0)&& if (x'S+rx-Px < X)&& if (y'S+ry-Py < Y))
if (IN[b][x'S+rx-Px][y'S+ry-Py][l] == 1 )( 1)
IN_D[b](x'S+rx-Px)[y'S+ry-Py][l] += OUT_D[b][xlyJ][l];

```

```

float IN[B](X)[Y][L];
float IN_D[B](X)[Y][L];
float OUT[BJ(XoutJ(YoutJ(L);
float OUT_D(B)(XoutJ(YoutJ(L);

```

//

```

for (b=0;b<B;b++)
for (1=0; l<L;l++)
for (x=0;x<Xout;x++)
for (y=0;y<Youty++) {
RES = 0;
for (rx = 0;rx<Rx;rx++)
for (ry = 0;ry<Ry;ry++)

```

```

    if (x'S+rx-Px >= 0)
    if (y'S+ry-Py >= 0)
    if (x'S+rx-Px < X)
    if (y'S+ry-Py < Y)
        RES += IN[b](x'S+rx-Px)(y'S+ry-PyJl);
    OUT[b][xKy][l] = RES / (floatXRx'Ry);
}

```

```

for (b=0;b<B;b++)
for (l=0; KL:l++)
for (x=0;x<Xjc++)
for (y=0;y<Y;y++)
    IN-DlblxHyin] = 0;
for (b=0;b<B;b++)
for (l=0; l<L;t++)
for (x=0;x<Xout:x++)
for (y=0;y<Yout;y++)
for (rx = 0;rx<Rx;rx++)
for (ry = 0;ry<Ry;ry++)
    if ((x'S+rx-Px >= 0)&& (y'S+ry-Py >= 0)&& if (x'S+rx-Px < X)&& if (y'S+ry-Py < Y))
        IN_D[b](x'S+rx-PxJy'S+ry-Py)[l] += (OUT_D[b](x)[y][l] / (floatXRx'Ry));

```

IN — . OUT — . IN_D —
 , . OUT.0 — , -

```

float fN[8HXMYM4:
float IN D[B](X)[YXL];
float OUTIBMX}[YJ(LJ;
float OUT_D[B][XJY][L];

```

```

for (b=0;txB;b++)
for (x=0;x<X:x++)
for (y=0;y<Y;y++)
for (l=0;l<L;l++)
    »{IN[bKxlyKI>0)
    OUT[bKx][yiq = IN[b][xgy][l];

ouTibMyM0 = o;

```

U

```

for (b=0;b<B;b++)
for (x=0;x<X:x++)
for (y=0;y<Y;y++)
for (l=0;l<L:l++)
    if (IN(bJ[xKyJ(l)>0)
        IN_D[b](x)[y](lJ = OUT_DfbMx][yIf];

    IN_D[b](x)[y]lI] = 0;

```

IN — , OUT — . IN_D —
 , . OUT_D — , -

```

float IN1[B](X)(Y)[L1];
float IN1_D[B][X][Y](L1);

```

```

float IN2(BXX)[Y](L2);
float IN2 D[B][X](Y)[L2];
float OUT[B][X](YJL1+L2);
float OUT_D(B)[X][Y](L1+L2);

```

```

for (b=0;b<B;b++)
  for (x=0;x<X:x++)
    for (y=0;y<Y.y*++){
      for(l=0J«L1;l++)
        OUnblx[y][l] = IN1(bMxly );
      for (l=0J«L2;l++)
        OU4bKxJ[y]p*L11 = IN2[b](x)(y)p'.
    }
)

```

```

for (b=0;b<B;b++)
  for (x=0;x<X:x*++)
    for (y=0;y<Y;y++) {
      for (l=0;KL1;l++)
        IN1_D(b)(xJ(y)nj = OUT_D[b](xRy)(l);
      for (l=0;l<L2;l++)
        IN2_D(b)[x]{y}[l] = OUT_D[b][xgy][l+L1];
    }
)

```

IN2_D — , IN1 1N2 — . OUT — . INI_D — . OUT_D — .

```

float IN[B][X][Y][L];
float IN_D[B][X][Y][L].
float OUT1[B](X)(YJL11;
float OUT1 D[BJ(XIY)(L1J;
float OUT2{BXX}[Y][L-L1];
float OUT2_D[B]{XJYj(L-L1):

```

```

for (b=0;b<B:b++)
  for (x=0;x<XJC++)
    for (y=0;y<Y:y++) {
      for (l=0J«L1;l++)
        OUT1[b](x)yJ(l) = IN[bXxJly)(l].
      for(l=0J«L-L1:l++)
        OUT2[b][xJy][l] = IN[b«xJly)(L1+1]:
    }
)

```

il

```

for (b=0;b<B:b++)
  for (x=0;x<Xuc*++)
    for (y=0;y<Y;y++) {
      for (l=0;l<L1;l++)
        tN_D[bJ[xHy)(ll - OUT1_D(bJ[x)y][l];
      for (l=0;KL-L1;l++)
        IN_D[b][x)(y)(L1+l] = OUT2_D[bJ[xXy][lJ;
    }
)

```

```

                                IN —                                . OUT1  OUT2 —                                . IND —
                                ,                                . OUT1_D  OUT2_D —                                ,                                -

float IN(BJX)[Y][L];
float IN_D[B](XgY)[L];
float OUT(B)[Xout][Yout][L];
float OUT_D[B](XoutgYout)[L];
float FILTERS{Rx}(Ry)(L);
float FILTERS_D{RxJ(Ry)(L);
float BIASESfF);
float BIASES_D[LJ;

for (b=0;b<B;b++)
for (l=0;l<L;l++)
for (x=0;x<Xout;x++)
for (y=0;y<Yout;y++) {
    OUT[bJ(xly)](l) = BIASESfF;
    for (rx = 0;rx<Rx:rx++)
        tor (ry = 0:ry<Ry;ry++)
            if (x'S+rx-Px >= 0)
                if (y'S+ry-Py >= 0)
                    if (x'S+rx-Px < X)
                        if (y'S+ry-Py < Y)
                            ! += IN(bKx'S+rx-Px][y'S+ry-Py)(lJ ' FILTERS[rxlryJl];
    }
//

for (b=0;b<B;b++)
for (l=0;l<L;l++)
for (x=0;x<X;x++)
for (y=0;y<Y;y++)
    IN_D(b)lxKy)[l] = 0;
for (b=0;b<8;b++)
for (l=0;l<L:l++)
for (x=0;x<Xoutx++)
for (y=0;y<Yout;y++)
for (rx = 0;rx<Rx:rx++)
for (ry = 0;ry<Ry;ry++)
    if (x'S+rx-Px >= 0)
        if (y'S+ry-Py >= 0)
            if (x'S+rx-Px < X)
                if (y'S+ry-Py < Y)
                    IN_D[bJ[x'S+rx-Px](y'S+ry-Py l += OUT_D(blx)(y)[l] ' FILTERS(rx)fry)[l];

for (l«0:l<U++)
for (rx = 0;rx<Rx:rx++)
for (ry = 0;ry<Ry;ry++) {
    FILTERS_D{rx}(ry)[l] = 0;
    for (b=0;tXB;b++)
        for (x=0)jc<Xoutx++)
            for (y=0;y<Yout;y++)
                if (x'S+rx-Px >= 0)
                    if (y'S+ry-Py >= 0)
                        if (x'S+rx-Px < X)
                            rf (y'S+ry-Py < Y)
                                FILTERS_D{rx}[ry][l] += IN[b][x'S+rx-Pxgy'S+fy-Py][l] ' OUT_D[bJ(xly)(lJ;
    }

```



```

for (l=0; l<L; l++){
    BIASES_Df[l]= 0;
    for (b=0; b<B; b++)
        for (x=0; x<Xout; x++)
            for (y=0; y<Yout; y++)
                BIASES_D(l)+= OUT_D[b][xMy][lJ;
}

```

```

for (l=0; l<L; l++) {
    BIASES[l] += (BIASES_D[l])/B;
    for (rx=0; rx<Rx; rx++)
        for (ry=0; ry<Ry; ry++)
            FILTERS[rx][ry][l] += (FILTERS_D[rx][ry][l])/B;
}

```

$$\text{OUT_D} = \frac{\text{BIASES_D}}{\text{BIASES_D}}$$

$$\text{IN_D} = \frac{\text{IN}}{\text{IN_D}}$$

$$\text{OUT} = \frac{\text{OUT_D}}{\text{OUT_D}}$$

$$\text{FILTERS_D} = \frac{\text{FILTERS_D}}{\text{FILTERS_D}}$$

```

float IN1[BKX][Y][L];
float IN1_D[B][X][Y][L];
float IN2[BIX][Y][L];
float IN2_D[B][X][Y][L];
float OUT[B][X][Y][L];
float OUT_D[B][X][Y][L];

```

```

for (b=0; b<B; b++)
    for (x=0; x<X; x++)
        for (y=0; y<Y; y++)
            for (l=0; l<L; l++)
                OUT_D[b][x][y][l] = IN1(b)[x][y][l] + IN2(b)[x][y][l];

```

H

```

for (b=0; b<B; b++)
    for (x=0; x<Xpt; x++)
        for (y=0; y<Y; y++)
            for (l=0; l<L; l++) {
                OUT_D[b][x][y][l] = OUT_D[b][x][y][l];
            }

```

$$\text{IN2_D} = \frac{\text{IN1} \quad \text{IN2}}{\text{IN2_D}}$$

$$\text{OUT} = \frac{\text{OUT_D}}{\text{OUT_D}}$$

$$\text{INI_D} = \frac{\text{INI_D}}{\text{INI_D}}$$

```

float IN[B][XMY][L];
float IN_Df[B][X][Y][L];
float OUT[B][F];
float OUT_Df[B][F];
float WEIGHTS[F][L];
float WEIGHTS_D[F][L][X][Y];
float BIASESf[F];
float BIASES_OF[F];

```

//

```

for (b=0;b<B:b*+)
  for (f=0;f<F;f++) (
    OUT(b)[f] = B!ASES[f],
    for (x=0;x<Xjc*+)
      for (y=0;y<Y:y++)
        for (l=0; l<L;l++)
          OUT[b][f] = IN[b](x)[y][l]* WEIGHTS[f][l][xJ(y);
  )

for (b=0;b<B:b*+)
  for (x=0;x<X;x++)
    for (y=0;y<Y;y++)
      for (l=0; l<L;l++){
        IN.DMxlllyjm = 0;
        for (f=0; f<F:f*+)
          IN_D[bJM[y][l] « OUT_Dt[b](f)*WEIGHTS(np)(xJ(y);
      }

```

```

for (f=0;f<F:f*+){
  B!ASES_D[f] = OUT_D(b)[f]:
  for (x=0;x<X:x++)
    for (y=0;y<Y:y++)
      for (l=0;KL:l++)
        WEfGHTS_D{f}plxJ[y] = 0;
  for (b=0;b<B:b++)
    for (x=0;x<Xjc*+)
      for (y=0;y<Y:y++)
        for (l=0; KUl++)
          WEIGHTS_D[f][l][x]{yJ *= INlbKxHyJp}*OUT.Dlbf]:
  )

```

```

for (f=0;t<F;f++){
  B!ASESff] += (B!ASES_D(f)yB:
  for (x=0;x<X;x++)
    for (y=0;y<Y;y++)
      for (l=0;KL;l++)
        WEIGHTS{f}[lJx)(y] += (WEIGHTS D[f][l][x][y])/B:
  }

```

IN — . OUT — . WEIGHTS —
 . B!ASES — , IN_D — , WEIGHTS_O —
 OUT.D — ,
 . BtASES_D — .

```

float 1N(B)[XBYJ]LJ:
float IN D[B][X)(Y)li-J;
float OUT(BMX){Y}[L]:
float OUT_D[B)(X)(Y)[LJ;

```

```

for (b=0;b<B;b++)
  for (l=0;KL;l++) (

```

```
f = (I/(L/G)) + G * (I % (L? G));
foe (x=0;x<X;x++)
  for (y=0;y<Y;y++)
    OU4bKxJ[yIf] = INIbIxJlyJP);
}
```

```
for (b=0;b<B;b++)
  for (l=0;l<Ul++;) {
    f = (I/(Lf G)) + G * (I % ( G));
    foe (x=0;x<X;x++)
      for (y=0;y<Y;y++)
        'N_D[b][x][y]{l} = OUTDfbMyMf);
  }
```

IN — . OUT — ». IN_D —
, . OUT.D — ,
.

()

.1— « »

/		1	2	X	Y	LI	12	F1			S		G
1	.	0	—	224	224	3	—	32	—	3	2	1	—
2	.	1	—	112	112	32	—	32	—	—	—	—	—
3	. .	2	—	112	112	32	—	32	—	3	1	1	—
4	.	3	—	112	112	32	—	32	—	—	—	—	
5	.	4	—	112	112	32	—	64	—	1	1	0	—
6	.	5	—	112	112	64	—	64	—	—	—	—	—
7	. .	6	—	112	112	64	—	64	—	3	2	1	
8	.	7	—	56	56	64	—	64	—	—	—	—	—
9	.	8	—	56	56	64	—	128	—	1	1	0	—
10	.	9	—	56	56	128	—	128	—	—	—	—	
11	. .	10	—	56	56	128	—	128	—	3	1	1	—
12	.	11	—	56	56	128	—	128	—	—	—	—	—
13	.	12	—	56	56	128	—	128	—	1	1	0	
14	.	13	—	56	56	128	—	128	—	—	—	—	—
15	. .	14	—	56	56	128	—	128	—	3	2	1	—
16	.	15	—	28	28	128	—	128	—	—	—	—	
17	.	16	—	28	28	128	—	256	—	1	1	0	—
18	.	17	—	28	28	256	—	256	—	—	—	—	—
19	.	18	—	28	28	256	—	256	—	3	1	1	
20	.	19	—	28	28	256	—	256	—	—	—	—	—
21	.	20	—	28	28	256	—	256	—	1	1	0	—
22	.	21	—	28	28	256	—	256	—	—	—	—	
23	. .	22	—	28	28	256	—	256	—	3	2	1	—
24	.	23	—	14	14	256	—	256	—	—	—	—	—
25	.	24	—	14	14	256	—	504	—	1	1	0	—
26	.	25	—	14	14	504	—	504	—	—	—	—	—
27	. .	26	—	14	14	504	—	504	—	3	1	1	—
28	.	27	—	14	14	504	—	504	—	—	—	—	—
29	.	28	—	14	14	504	—	504	—	1	1	0	—
30	.	29	—	14	14	504	—	504	—	—	—	—	
31	. .	30	—	14	14	504	—	504	—	3	1	1	—
32	.	31	—	14	14	504	—	504	—	—	—	—	—
33	.	32	—	14	14	504	—	512	—	1	1	0	
34	.	33	—	14	14	512	—	512	—	—	—	—	—

. 1

n/h		8x1	8x2	X	Y	£1	12	F1	F2		S		6
35	.	34	—	14	14	512	—	512	—	3	1	1	
36	.	35	—	14	14	512	—	512	—	—	—	—	—
37	.	36	—	14	14	512	—	512	—	1	1	0	—
38	.	37	—	14	14	512	—	512	—	—	—	—	
39	.	38	—	14	14	512	—	512	—	3	1	1	—
40	.	39	—	14	14	512	—	512	—	—	—	—	—
41	.	40	—	14	14	512	—	504	—	1	1	0	
42	.	41	—	14	14	504	—	504	—	—	—	—	—
43	.	42	—	14	14	504	—	504	—	3	1	1	—
44	.	43	—	14	14	504	—	504	—	—	—	—	
45	.	44	—	14	14	504	—	504	—	1	1	0	—
46	.	45	—	14	14	504	—	504	—	—	—	—	—
47	.	46	—	14	14	504	—	504	—	3	2	1	
48	.	47	—	7	7	504	—	504	—	—	—	—	—
49	.	48	—	7	7	504	—	1024	—	1	1	0	—
50	.	49	—	7	7	1024	—	1024	—	—	—	—	
51	.	50	—	7	7	1024	—	1024	—	3	1	1	—
52	.	51	—	7	7	1024	—	1024	—	—	—	—	—
53	.	52	—	7	7	1024	—	1024	—	1	1	0	—
54	.	53	—	7	7	1024	—	1024	—	—	—	—	—
55	.	54	—	7	7	1024	—	1024	—	7	1	0	—

.2 — « »

/		1	2	X		11	£2			R	\$		6
1	.	0	—	224	224	3	—	64	—	7	2	3	—
2	.	1	—	112	112	64	—	64	—	—	—	—	—
3	.	2	—	112	112	64	—	64	—	3	2	1	—
4	.	3	—	56	56	64	—	64	—	1	1	0	—
5	.	4	—	56	56	64	—	64	—	—	—	—	—
6	.	5	—	56	56	64	—	192	—	3	1	1	—
7	.	6	—	56	56	192	—	192	—	—	—	—	—
8	.	7	—	56	56	192	—	192	—	3	2	1	—
9	.	8	—	28	28	192	—	64	—	1	1	0	—
10	.	9	—	28	28	64	—	64	—	—	—	—	—
11	.	8	—	28	28	192	—	96	—	1	1	0	—
12	.	11	—	28	28	96	—	96	—	—	—	—	—
13	.	12	—	28	28	96	—	128	—	3	1	1	—
14	.	13	—	28	28	128	—	128	—	—	—	—	—
15	.	10	14	28	28	64	128	192	—	—	—	—	—

5.2

/		8x1	2	X	Y	1!	L2	1	F2	R	S		6
16	.	8	—	28	28	192	—	16	—	1	1	0	—
17	.	16	—	28	28	16	—	16	—	—	—	—	—
18	.	17	—	28	28	16	—	32	—	5	1	2	—
19	.	18	—	28	28	32	—	32	—	—	—	—	—
20	.	15	19	28	28	192	32	224	—	—	—	—	—
21	.	8	—	28	28	192	—	192	—	3	1	1	—
22	.	21	—	28	28	192	—	32	—	1	1	0	—
23	.	22	—	28	28	32	—	32	—	—	—	—	—
24	.	20	23	28	28	224	32	256	—	—	—	—	—
25	.	24	—	28	28	256	—	128	—	1	1	0	—
26	.	25	—	28	28	128	—	128	—	—	—	—	—
27	.	24	—	28	28	256	—	128	—	1	1	0	—
28	.	27	—	28	28	128	—	128	—	—	—	—	—
29	.	28	—	28	28	128	—	192	—	3	1	1	—
30	.	29	—	28	28	192	—	192	—	—	—	—	—
31	.	26	30	28	28	128	192	320	—	—	—	—	—
32	.	24	—	28	28	256	—	32	—	1	1	0	—
33	.	32	—	28	28	32	—	32	—	—	—	—	—
34	.	33	—	28	28	32	—	96	—	5	1	2	—
35	.	34	—	28	28	96	—	96	—	—	—	—	—
36	.	31	35	28	28	320	96	416	—	—	—	—	—
37	.	24	—	28	28	256	—	256	—	3	1	1	—
38	.	37	—	28	28	256	—	64	—	1	1	0	—
39	.	38	—	28	28	64	—	64	—	—	—	—	—
40	.	36	39	28	28	416	64	480	—	—	—	—	—
41	.	40	—	28	28	480	—	480	—	3	2	1	—
42	.	41	—	14	14	480	—	192	—	1	1	0	—
43	.	42	—	14	14	192	—	192	—	—	—	—	—
44	.	41	—	14	14	480	—	96	—	1	1	0	—
45	.	44	—	14	14	96	—	96	—	—	—	—	—
46	.	45	—	14	14	96	—	208	—	3	1	1	—
47	.	46	—	14	14	208	—	208	—	—	—	—	—
48	.	43	47	14	14	192	208	400	—	—	—	—	—
49	.	41	—	14	14	480	—	16	—	1	1	0	—
50	.	49	—	14	14	16	—	16	—	—	—	—	—
51	.	50	—	14	14	16	—	48	—	5	1	2	—
52	.	51	—	14	14	48	—	48	—	—	—	—	—
53	.	48	52	14	14	400	48	448	—	—	—	—	—
54	.	41	—	14	14	480	—	480	—	3	1	1	—
55	.	54	—	14	14	480	—	64	—	1	1	0	—
56	.	55	—	14	14	64	—	64	—	—	—	—	—

. 2

/		1	2	X		11	12		F2	R	S		G
57	.	53	56	14	14	448	64	512	—	—	—	—	—
58	.	57	—	14	14	512	—	160	—	1	1	0	—
59	.	5	—	14	14	160	—	160	—	—	—	—	—
60	.	57	—	14	14	512	—	112	—	1	1	0	—
61	.	60	—	14	14	112	—	112	—	—	—	—	—
62	.	61	—	14	14	112	—	224	—	3	1	1	—
63	.	62	—	14	14	224	—	224	—	—	—	—	—
64	.	59	63	14	14	160	224	384	—	—	—	—	—
65	.	57	—	14	14	512	—	24	—	1	1	0	—
66	.	65	—	14	14	24	—	24	—	—	—	—	—
67	.	66	—	14	14	24	—	64	—	5	1	2	—
68	.	67	—	14	14	64	—	64	—	—	—	—	—
69	.	64	68	14	14	384	64	448	—		—	—	—
70	.	57	—	14	14	512	—	512	—	3	1	1	—
71	.	70	—	14	14	512	—	64	—	1	1	0	—
72	.	71	—	14	14	64	—	64	—	—	—	—	—
73	.	69	72	14	14	448	64	512	—	—	—	—	—
74	.	73	—	14	14	512	—	128	—	1	1	0	—
75	.	74	—	14	14	128	—	128	—	—	—	—	—
76	.	73	—	14	14	512	—	128	—	1	1	0	—
77	.	76	—	14	14	128	—	128	—		—	—	—
78	.	77	—	14	14	128	—	256	—	3	1	1	—
79	.	78	—	14	14	256	—	256	—	—	—	—	—
80	.	75	79	14	14	128	256	384	—	—	—	—	—
81	.	73	—	14	14	512	—	24	—	1	1	0	—
82	.	81	—	14	14	24	—	24	—	—	—	—	—
83	.	82	—	14	14	24	—	64	—	5	1	2	—
84	.	83	—	14	14	64	—	64	—	—		—	—
85	.	80	84	14	14	384	64	448	—	—	—	—	—
86	.	73	—	14	14	512	—	512	—	3	1	1	—
87	.	86	—	14	14	512	—	64	—	1	1	0	—
88	.	87	—	14	14	64	—	64	—	—		—	—
89	.	85	88	14	14	448	64	512	—	—	—	—	—
90	.	89	—	14	14	512	—	112	—	1	1	0	—
91	.	90	—	14	14	112	—	112	—		—	—	—
92	.	89	—	14	14	512	—	144	—	1	1	0	—
93	.	92	—	14	14	144	—	144	—	—	—	—	—
94	.	93	—	14	14	144	—	288	—	3	1	1	—
95	.	94	—	14	14	288	—	288	—	—	—	—	—
96	.	91	95	14	14	112	288	400	—	—	—	—	—
97	.	89	—	14	14	512	—	32	—	1	1	0	—

5.2

/		1	2	X	Y		L2	F1	F2	R	S		6
98	.	97	—	14	14	32	—	32	—	—	—	—	—
99	.	98	—	14	14	32	—	64	—	5	1	2	—
100	.	99	—	14	14	64	—	64	—	—	—	—	—
101	.	96	100	14	14	400	64	464	—	—	—	—	—
102	.	89	—	14	14	512	—	512	—	3	1	1	—
103	.	102	—	14	14	512	—	64	—	1	1	0	—
104	^ .	103	—	14	14	64	—	64	—	—	—	—	—
105	.	101	104	14	14	464	64	528	—	—	—	—	—
106	.	105	—	14	14	528	—	256	—	1	1	0	—
107	.	106	—	14	14	256	—	256	—	—	—	—	—
108	.	105	—	14	14	528	—	160	—	1	1	0	—
109	.	108	—	14	14	160	—	160	—	—	—	—	—
110	.	109	—	14	14	160	—	320	—	3	1	1	—
111	.	110	—	14	14	320	—	320	—	—	—	—	—
112	.	107	111	14	14	256	320	576	—	—	—	—	—
113	.	105	—	14	14	528	—	32	—	1	1	0	—
114	.	113	—	14	14	32	—	32	—	—	—	—	—
115	.	114	—	14	14	32	—	128	—	5	1	2	—
116	.	115	—	14	14	128	—	128	—	—	—	—	—
117	.	112	116	14	14	576	128	704	—	—	—	—	—
118	.	105	—	14	14	528	—	528	—	3	1	1	—
119	.	118	—	14	14	528	—	128	—	1	1	0	—
120	.	119	—	14	14	128	—	128	—	—	—	—	—
121	.	117	120	14	14	704	128	832	—	—	—	—	—
122	.	121	—	14	14	832	—	832	—	3	2	1	—
123	.	122	—	7	7	832	—	256	—	1	1	0	—
124	.	123	—	7	7	256	—	256	—	—	—	—	—
125	.	122	—	7	7	832	—	160	—	1	1	0	—
126	.	125	—	7	7	160	—	160	—	—	—	—	—
127	.	126	—	7	7	160	—	320	—	3	1	1	—
128	.	127	—	7	7	320	—	320	—	—	—	—	—
129	.	124	128	7	7	256	320	576	—	—	—	—	—
130	.	122	—	7	7	832	—	32	—	1	1	0	—
131	.	130	—	7	7	32	—	32	—	—	—	—	—
132	.	131	—	7	7	32	—	128	—	5	1	2	—
133	.	132	—	7	7	128	—	128	—	—	—	—	—
134	.	129	133	7	7	576	128	704	—	—	—	—	—
135	.	122	—	7	7	832	—	832	—	3	1	1	—
136	.	135	—	7	7	832	—	128	—	1	1	0	—
137	.	136	—	7	7	128	—	128	—	—	—	—	—
138	.	134	137	7	7	704	128	832	—	—	—	—	—

.2

/		1	2	X		11	12		F2	R	S		G
139	.	138	—	7	7	832	—	384	—	1	1	0	—
140	.	139	—	7	7	384	—	384	—	—	—	—	—
141	.	138	—	7	7	832	—	192	—	1	1	0	—
142	.	141	—	7	7	192	—	192	—	—	—	—	—
143	.	142	—	7	7	192	—	384	—	3	1	1	—
144	.	143	—	7	7	384	—	384	—	—	—	—	—
145	.	140	144	7	7	384	384	768	—	—	—	—	—
146	.	138	—	7	7	832	—	48	—	1	1	0	—
147	.	146	—	7	7	48	—	48	—	—	—	—	—
148	.	147	—	7	7	48	—	128	—	5	1	2	—
149	.	148	—	7	7	128	—	128	—	—	—	—	—
150	.	145	149	7	7	768	128	896	—	—	—	—	—
151	.	138	—	7	7	832	—	832	—	3	1	1	—
152	.	151	—	7	7	832	—	128	—	1	1	0	—
153	.	152	—	7	7	128	—	128	—	—	—	—	—
154	.	150	153	7	7	896	128	1024	—	—	—	—	—
155	.	154	—	7	7	1024	—	1024	—	7	1	0	—
156	.	155	—	1	1	1024	—	1000	—	—	—	—	—

. — CMC « »

/		1	8x2	X		11	12	Fi	F2	R	S		G
1	.	0	—	224	224	3	—	64	—	3	1	1	—
2	.	1	—	224	224	64	—	64	—	—	—	—	—
3	.	2	—	224	224	64	—	64	—	3	1	1	—
4	.	3	—	224	224	64	—	64	—	—	—	—	—
5	.	4	—	224	224	64	—	64	—	2	2	0	—
6	.	5	—	112	112	64	—	128	—	3	1	1	—
7	.	6	—	112	112	128	—	128	—	—	—	—	—
8	.	7	—	112	112	128	—	128	—	3	1	1	—
9	.	8	—	112	112	128	—	128	—	—	—	—	—
10	.	9	—	112	112	128	—	128	—	2	2	0	—
11	.	10	—	56	56	128	—	256	—	3	1	1	—
12	.	11	—	56	56	256	—	256	—	—	—	—	—
13	.	12	—	56	56	256	—	256	—	3	1	1	—
14	.	13	—	56	56	256	—	256	—	—	—	—	—
15	.	14	—	56	56	256	—	256	—	3	1	1	—
16	.	15	—	56	56	256	—	256	—	—	—	—	—
17	.	16	—	56	56	256	—	256	—	2	2	0	—
18	.	17	—	28	28	256	—	512	—	3	1	1	—
19	.	18	—	28	28	512	—	512	—	—	—	—	—
20	.	19	—	28	28	512	—	512	—	3	1	1	—
21	.	20	—	28	28	512	—	512	—	—	—	—	—

1		Bxt	2	X	Y	11	12	F1	F2	R	S		G
22	.	21	—	28	28	512	—	512	—	3	1	1	—
23	.	22	—	28	28	512	—	512	—	—	—	—	—
24	.	23	—	28	28	512	—	512	—	2	2	0	—
25	.	24	—	14	14	512	—	512	—	3	1	1	—
26	.	25	—	14	14	512	—	512	—	—	—	—	—
27	.	26	—	14	14	512	—	512	—	3	1	1	—
28	.	27	—	14	14	512	—	512	—	—	—	—	—
29	.	28	—	14	14	512	—	512	—	3	1	1	—
30	.	29	—	14	14	512	—	512	—	—	—	—	—
31	.	30	—	14	14	512	—	512	—	2	2	0	—
32	.	31	—	7	7	512	—	4096	—	—	—	—	—
33	.	32	—	1	1	4096	—	4096	—	—	—	—	—
34	.	33	—	1	1	4096	—	4096	—	—	—	—	—
35	.	34	—	1	1	4096	—	4096	—	—	—	—	—
36	.	35	—	1	1	4096	—	1000	—	—	—	—	—

.4 — « »

1		Bxt	2	X	Y	11	12	F1		R	\$		G
1	.	0	—	227	227	3	—	96	—	7	2	0	—
2	.	1	—	111	111	96	—	96	—	—	—	—	—
3	.	2	—	111	111	96	—	96	—	3	2	0	—
4	.	3	—	55	55	96	—	16	—	1	1	0	—
5	.	4	—	55	55	16	—	16	—	—	—	—	—
6	.	5	—	55	55	16	—	64	—	1	1	0	—
7	.	6	—	55	55	64	—	64	—	—	—	—	—
8	.	5	—	55	55	16	—	64	—	3	1	1	—
9	.	8	—	55	55	64	—	64	—	—	—	—	—
10	.	7	9	55	55	64	64	128	—	—	—	—	—
11	.	10	—	55	55	128	—	16	—	1	1	0	—
12	.	11	—	55	55	16	—	16	—	—	—	—	—
13	.	12	—	55	55	16	—	64	—	1	1	0	—
14	.	13	—	55	55	64	—	64	—	—	—	—	—
15	.	12	—	55	55	16	—	64	—	3	1	1	—
16	.	15	—	55	55	64	—	64	—	—	—	—	—
17	.	14	16	55	55	64	64	128	—	—	—	—	—
18	.	17	—	55	55	128	—	32	—	1	1	0	—
19	.	18	—	55	55	32	—	32	—	—	—	—	—
20	.	19	—	55	55	32	—	128	—	1	1	0	—
21	.	20	—	55	55	128	—	128	—	—	—	—	—
22	.	19	—	55	55	32	—	128	—	3	1	1	—
23	.	22	—	55	55	128	—	128	—	—	—	—	—
24	.	21	23	55	55	128	128	256	—	—	—	—	—

.4

/		1	2	X		6»	1.2			R	S		G
25	.	24	—	55	55	256	—	256	—	3	2	0	—
26	.	25	—	27	27	256	—	32	—	1	1	0	—
27	.	26	—	27	27	32	—	32	—	—	—	—	—
28	.	27	—	27	27	32	—	128	—	1	1	0	—
29	.	28	—	27	27	128	—	128	—	—	—	—	—
30	.	27	—	27	27	32	—	128	—	3	1	1	—
31	.	30	—	27	27	128	—	128	—	—	—	—	—
32	.	29	31	27	27	128	128	256	—	—	—	—	—
33	.	32	—	27	27	256	—	48	—	1	1	0	—
34	.	33	—	27	27	48	—	48	—	—	—	—	—
35		34	—	27	27	48	—	192	—	1	1	0	—
36	.	35	—	27	27	192	—	192	—	—	—	—	—
37	.	34	—	27	27	48	—	192	—	3	1	1	—
38	.	37	—	27	27	192	—	192	—	—	—	—	—
39	.	36	38	27	27	192	192	384	—	—	—	—	—
40	.	39	—	27	27	384	—	48	—	1	1	0	—
41	.	40	—	27	27	48	—	48	—	—	—	—	—
42	.	41	—	27	27	48	—	192	—	1	1	0	—
43	.	42	—	27	27	192	—	192	—	—	—	—	—
44	.	41	—	27	27	48	—	192	—	3	1	1	—
45	.	44	—	27	27	192	—	192	—	—	—	—	—
46	.	43	45	27	27	192	192	384	—	—	—	—	—
47	.	46	—	27	27	384	—	64	—	1	1	0	—
48	.	47	—	27	27	64	—	64	—	—	—	—	—
49	.	48	—	27	27	64	—	256	—	1	1	0	—
50	.	49	—	27	27	256	—	256	—	—	—	—	—
51	.	48	—	27	27	64	—	256	—	3	1	1	—
52	.	51	—	27	27	256	—	256	—	—	—	—	—
53	.	50	52	27	27	256	256	512	—	—	—	—	—
54	.	53	—	27	27	512	—	512	—	3	2	0	—
55	.	54	—	13	13	512	—	64	—	1	1	0	—
56	.	55	—	13	13	64	—	64	—	—	—	—	—
57	.	56	—	13	13	64	—	256	—	1	1	0	—
58	.	57	—	13	13	256	—	256	—	—	—	—	—
59	.	56	—	13	13	64	—	256	—	3	1	1	—
60	.	59	—	13	13	256	—	256	—	—	—	—	—
61	.	58	60	13	13	256	256	512	—	—	—	—	—
62	.	61	—	13	13	512	—	1000	—	1	1	0	—
63	.	62	—	13	13	1000	—	1000	—	—	—	—	—
64	.	63	—	13	13	1000	—	1000	—	13	1	0	—

.5 — « »

/		8x1	8x2	X		11	L2	F1	F2	R	\$		6
1	.	0	—	224	224	3	—	64	—	7	2	3	—
2	.	1	—	112	112	64	—	64	—	—	—	—	—
3	.	2	—	112	112	64	—	64	—	3	2	1	—
4	.	3	—	56	56	64	—	64	—	1	1	0	—
5	.	3	—	56	56	64	—	64	—	3	1	1	—
6	.	5	—	56	56	64	—	64	—	—	—	—	—
7	.	6	—	56	56	64	—	64	—	3	1	1	—
8	.	4	7	56	56	64	64	64	—	—	—	—	—
9	.	8	—	56	56	64	—	64	—	—	—	—	—
10	.	9	—	56	56	64	—	64	—	3	1	1	—
11	.	10	—	56	56	64	—	64	—	—	—	—	—
12	.	11	—	56	56	64	—	64	—	3	1	1	—
13	.	9	12	56	56	64	64	64	—	—	—	—	—
14	.	13	—	56	56	64	—	64	—	—	—	—	—
15	.	14	—	56	56	64	—	64	—	3	1	1	—
16	.	15	—	56	56	64	—	64	—	—	—	—	—
17	.	16	—	56	56	64	—	64	—	3	1	1	—
18	.	14	17	56	56	64	64	64	—	—	—	—	—
19	.	18	—	56	56	64	—	64	—	—	—	—	—
20	.	19	—	56	56	64	—	128	—	1	2	0	—
21	.	19	—	56	56	64	—	128	—	3	2	1	—
22	.	21	—	28	28	128	—	128	—	—	—	—	—
23	.	22	—	28	28	128	—	128	—	3	1	1	—
24	.	20	23	28	28	128	128	128	—	—	—	—	—
25	.	24	—	28	28	128	—	128	—	—	—	—	—
26	.	25	—	28	28	128	—	128	—	3	1	1	—
27	.	26	—	28	28	128	—	128	—	—	—	—	—
28	.	27	—	28	28	128	—	128	—	3	1	1	—
29	.	25	28	28	28	128	128	128	—	—	—	—	—
30	.	29	—	28	28	128	—	128	—	—	—	—	—
31	.	30	—	28	28	128	—	128	—	3	1	1	—
32	.	31	—	28	28	128	—	128	—	—	—	—	—
33	.	32	—	28	28	128	—	128	—	3	1	1	—
34	.	30	33	28	28	128	128	128	—	—	—	—	—
35	.	34	—	28	28	128	—	128	—	—	—	—	—
36	.	35	—	28	28	128	—	128	—	3	1	1	—
37	.	36	—	28	28	128	—	128	—	—	—	—	—
38	.	37	—	28	28	128	—	128	—	3	1	1	—
39	.	35	38	28	28	128	128	128	—	—	—	—	—
40	.	39	—	28	28	128	—	128	—	—	—	—	—
41	.	40	—	28	28	128	—	256	—	1	2	0	—
42	.	40	—	28	28	128	—	256	—	3	2	1	—

. 5

/			2	X		11	12	Ft			\$		G
43	.	42	—	14	14	256	—	256	—	—	—	—	—
44	.	43	—	14	14	256	—	256	—	3	1	1	—
45	.	41	44	14	14	256	256	256	—	—	—	—	—
46	.	45	—	14	14	256	—	256	—	—	—	—	—
47	.	46	—	14	14	256	—	256	—	3	1	1	—
48	.	47	—	14	14	256	—	256	—	—	—	—	—
49	.	48	—	14	14	256	—	256	—	3	1	1	—
50	.	46	49	14	14	256	256	256	—	—	—	—	—
51	.	50	—	14	14	256	—	256	—	—	—	—	—
52	.	51	—	14	14	256	—	256	—	3	1	1	—
53	.	52	—	14	14	256	—	256	—	—	—	—	—
54	.	53	—	14	14	256	—	256	—	3	1	1	—
55	.	51	54	14	14	256	256	256	—	—	—	—	—
56	.	55	—	14	14	256	—	256	—	—	—	—	—
57	.	56	—	14	14	256	—	256	—	3	1	1	—
58	.	57	—	14	14	256	—	256	—	—	—	—	—
59	.	58	—	14	14	256	—	256	—	3	1	1	—
60	.	56	59	14	14	256	256	256	—	—	—	—	—
61	.	60	—	14	14	256	—	256	—	—	—	—	—
62	.	61	—	14	14	256	—	256	—	3	1	1	—
63	.	62	—	14	14	256	—	256	—	—	—	—	—
64	.	63	—	14	14	256	—	256	—	3	1	1	—
65	.	61	64	14	14	256	256	256	—	—	—	—	—
66	.	65	—	14	14	256	—	256	—	—	—	—	—
67	.	66	—	14	14	256	—	256	—	3	1	1	—
68	.	67	—	14	14	256	—	256	—	—	—	—	—
69	.	68	—	14	14	256	—	256	—	3	1	1	—
70	.	66	69	14	14	256	256	256	—	—	—	—	—
71	.	70	—	14	14	256	—	256	—	—	—	—	—
72	.	71	—	14	14	256	—	512	—	1	2	0	—
73	.	71	—	14	14	256	—	512	—	3	2	1	—
74	.	73	—	7	7	512	—	512	—	—	—	—	—
75	.	74	—	7	7	512	—	512	—	3	1	1	—
76	.	72	75	7	7	512	512	512	—	—	—	—	—
77	.	76	—	7	7	512	—	512	—	—	—	—	—
78	.	77	—	7	7	512	—	512	—	3	1	1	—
79	.	78	—	7	7	512	—	512	—	—	—	—	—
80	.	79	—	7	7	512	—	512	—	3	1	1	—
81	.	77	80	7	7	512	512	512	—	—	—	—	—
82	.	81	—	7	7	512	—	512	—	—	—	—	—
83	.	82	—	7	7	512	—	512	—	3	1	1	—
84	.	83	—	7	7	512	—	512	—	—	—	—	—

.5

/		Bxi	2	X		11	L2	F1	F2		\$		G
65	.	84	—	1	7	512	—	512	—	3	1	1	—
86	.	82	85	7	7	512	512	512	—	—	—	—	—
87	.	86	—	7	7	512	—	512	—	—	—	—	—
88	.	87	—	7	7	512	—	512	—	7	1	0	—
89	.	88	—	1	1	512	—	1000	—	—	—	—	—

.6 — « »

1		Bxi	2	X		Lt	12	F1	F2		\$		G
1	.	0	—	224	224	3	—	24	—	3	2	1	—
2	.	1	—	112	112	24	—	24	—	—	—	—	—
3	.	2	—	112	112	24	—	24	—	3	2	1	—
4	. .	3	—	56	56	24	—	24	—	3	2	1	—
5	.	4	—	28	28	24	—	58	—	1	1	0	—
6	.	5	—	28	28	58	—	58	—	—	—	—	—
7	.	3	—	56	56	24	—	58	—	1	1	0	—
8	.	7	—	56	56	58	—	58	—	—	—	—	—
9	. .	8	—	56	56	58	—	58	—	3	2	1	—
10	.	9	—	28	28	58	—	58	—	1	1	0	—
11	.	10	—	28	28	58	—	58	—	—	—	—	—
12	.	6	11	28	28	58	58	116	—	—	—	—	—
13	.	12	—	28	28	116	—	116	—	—	—	—	2
14	.	13	—	28	28	116	—	58	58	—	—	—	—
15	.	14.1	—	28	28	58	—	58	—	1	1	0	—
16	.	15	—	28	28	5	—	58	—	—	—	—	—
17	. .	16	—	28	28	5	—	58	—	3	1	1	—
18	.	17	—	28	28	56	—	58	—	1	1	0	—
19	.	18	—	28	28	58	—	58	—	—	—	—	—
20	.	14.2	19	28	28	58	58	116	—	—	—	—	—
21	.	20	—	28	28	116	—	116	—	—	—	—	2
22	.	21	—	28	28	116	—	58	58	—	—	—	—
23	.	22.1	—	28	28	58	—	58	—	1	1	0	—
24	.	23	—	28	28	58	—	58	—	—	—	—	—
25	. .	24	—	28	28	58	—	58	—	3	1	1	—
26	.	25	—	28	28	58	—	58	—	1	1	0	—
27	.	26	—	28	28	58	—	58	—	—	—	—	—
28	.	22.2	27	28	28	58	58	116	—	—	—	—	—
29	.	28	—	28	28	116	—	116	—	—	—	—	2
30	.	29	—	28	28	116	—	58	58	—	—	—	—
31	.	30.1	—	28	28	58	—	58	—	1	1	0	—
32	.	31	—	28	28	58	—	58	—	—	—	—	—
33	. .	32	—	28	28	58	—	58	—	3	1	1	—
34	.	33	—	28	28	58	—	58	—	1	1	0	—

.6

/		1	8x2	X			L2	Ft	F2	R	\$		G
35	.	34	—	28	28	58	—	58	—	—	—	—	—
36	.	30.2	35	28	28	58	58	116	—	—	—	—	—
37	.	36	—	28	28	116	—	116	—	—	—	—	2
	. .	37	—	28	28	116	—	116	—	3	2	1	—
39	.	38	—	14	14	116	—	116	—	1	1	0	—
40	.	39	—	14	14	116	—	116	—	—	—	—	—
41	.	37	—	28	28	116	—	116	—	1	1	0	—
42	.	41	—	28	28	116	—	116	—	—	—	—	—
43	. .	42	—	28	28	116	—	116	—	3	2	1	—
44	.	43	—	14	14	116	—	116	—	1	1	0	—
45	.	44	—	14	14	116	—	116	—	—	—	—	—
46	.	40	45	14	14	116	116	232	—	—	—	—	—
47	.	46	—	14	14	232	—	232	—	—	—	—	2
48	.	47	—	14	14	232	—	116	116	—	—	—	—
49	.	48.1	—	14	14	116	—	116	—	1	1	0	—
50	.	49	—	14	14	116	—	116	—	—	—	—	—
51	. .	50	—	14	14	116	—	116	—	3	1	1	—
52	.	51	—	14	14	116	—	116	—	1	1	0	—
53	.	52	—	14	14	116	—	116	—	—	—	—	—
54	.	48.2	53	14	14	116	116	232	—	—	—	—	—
55	.	54	—	14	14	232	—	232	—	—	—	—	2
56	.	55	—	14	14	232	—	116	116	—	—	—	—
57	.	56.1	—	14	14	116	—	116	—	1	1	0	—
58	.	57	—	14	14	116	—	116	—	—	—	—	—
59	. .	58	—	14	14	116	—	116	—	3	1	1	—
60	.	59	—	14	14	116	—	116	—	1	1	0	—
61	.	60	—	14	14	116	—	116	—	—	—	—	—
62	.	56.2	61	14	14	116	116	232	—	—	—	—	—
63	.	62	—	14	14	232	—	232	—	—	—	—	2
64	.	63	—	14	14	232	—	116	116	—	—	—	—
65	.	64.1	—	14	14	116	—	116	—	1	1	0	—
66	.	65	—	14	14	116	—	116	—	—	—	—	—
67	- .	66	—	14	14	116	—	116	—	3	1	1	—
68	.	67	—	14	14	116	—	116	—	1	1	0	—
69	.	68	—	14	14	116	—	116	—	—	—	—	—
70	.	64.2	69	14	14	116	116	232	—	—	—	—	—
71	.	70	—	14	14	232	—	232	—	—	—	—	2
72	.	71	—	14	14	232	—	116	116	—	—	—	—
73	.	72.1	—	14	14	116	—	116	—	1	1	0	—
74	.	73	—	14	14	116	—	116	—	—	—	—	—
75	. .	74	—	14	14	116	—	116	—	3	1	1	—
76	.	75	—	14	14	116	—	116	—	1	1	0	—

1		1	2	X		Lt	L2	fl	F2		S		6
77	.	76	—	14	14	116	—	116	—	—	—	—	—
78	.	72.2	77	14	14	116	116	232	—	—	—	—	—
79	.	78	—	14	14	232	—	232	—	—	—	—	2
80	.	79	—	14	14	232	—	116	116	—	—	—	—
81	.	80.1	—	14	14	116	—	116	—	1	1	0	—
82	.	81	—	14	14	116	—	116	—	—	—	—	—
83	.	82	—	14	14	116	—	116	—	3	1	1	—
84	.	83	—	14	14	116	—	116	—	1	1	0	—
85	.	84	—	14	14	116	—	116	—	—	—	—	—
86	.	80.2	85	14	14	116	116	232	—	—	—	—	—
87	.	86	—	14	14	232	—	232	—	—	—	—	2
88	.	87	—	14	14	232	—	116	116	—	—	—	—
89	.	88.1	—	14	14	116	—	116	—	1	1	0	—
90	.	89	—	14	14	116	—	116	—	—	—	—	—
91	.	90	—	14	14	116	—	116	—	3	1	1	—
92	.	91	—	14	14	116	—	116	—	1	1	0	—
93	.	92	—	14	14	116	—	116	—	—	—	—	—
94	.	88.2	93	14	14	116	116	232	—	—	—	—	—
95	.	94	—	14	14	232	—	232	—	—	—	—	2
96	.	95	—	14	14	232	—	116	116	—	—	—	—
97	.	96.1	—	14	14	116	—	116	—	1	1	0	—
98	.	97	—	14	14	116	—	116	—	—	—	—	—
99	.	98	—	14	14	116	—	116	—	3	1	1	—
100	.	99	—	14	14	116	—	116	—	1	1	0	—
101	.	100	—	14	14	116	—	116	—	—	—	—	—
102	.	96.2	101	14	14	116	116	232	—	—	—	—	—
103	.	102	—	14	14	232	—	232	—	—	—	—	2
104	.	103	—	14	14	232	—	232	—	3	2	1	—
105	.	104	—	7	7	232	—	232	—	1	1	0	—
106	.	105	—	7	7	232	—	232	—	—	—	—	—
107	.	103	—	14	14	232	—	232	—	1	1	0	—
108	.	107	—	14	14	232	—	232	—	—	—	—	—
109	.	108	—	14	14	232	—	232	—	3	2	1	—
110	.	109	—	7	7	232	—	232	—	1	1	0	—
111	.	110	—	7	7	232	—	232	—	—	—	—	—
112	.	106	111	7	7	232	232	464	—	—	—	—	—
113	.	112	—	7	7	464	—	464	—	—	—	—	2
114	.	113	—	7	7	464	—	232	232	—	—	—	—
115	.	114.1	—	7	7	232	—	232	—	1	1	0	—
116	.	115	—	7	7	232	—	232	—	—	—	—	—
117	.	116	—	7	7	232	—	232	—	3	1	1	—
118	.	117	—	7	7	232	—	232	—	1	1	0	—

.6

<i>I</i>		8x1	8x2	X	Y	tl	L2		F2	R	\$		G
119	.	118	—	7	7	232	—	232	—	—	—	—	—
120	.	114.2	119	7	7	232	232	464	—	—	—	—	—
121	.	120	—	7	7	464	—	464	—	—	—	—	2
122	.	121	—	7	7	464	—	232	232	—	—	—	—
123	.	122.1	—	7	7	232	—	232	—	1	1	0	—
124	.	123	—	7	7	232	—	232	—	—	—	—	—
125	. .	124	—	7	7	232	—	232	—	3	1	1	—
126	.	125	—	7	7	232	—	232	—	1	1	0	—
127	.	126	—	7	7	232	—	232	—	—	—	—	—
128	.	122.2	127	7	7	232	232	464	—	—	—	—	—
129	.	128	—	7	7	464	—	464	—	—	—	—	2
130	.	129	—	7	7	464	—	232	232	—	—	—	—
131	.	130.1	—	7	7	232	—	232	—	1	1	0	—
132	.	131	—	7	7	232	—	232	—	—	—	—	—
133	. .	132	—	7	7	232	—	232	—	3	1	1	—
134	.	133	—	7	7	232	—	232	—	1	1	0	—
135	.	134	—	7	7	232	—	232	—	—	—	—	—
136	.	130.2	135	7	7	232	232	464	—	—	—	—	—
137	.	136	—	7	7	464	—	464	—	—	—	—	2
138	.	137	—	7	7	464	—	1024	—	1	1	0	—
139	.	138	—	7	7	1024	—	1024	—	—	—	—	—
140	.	139	—	7	7	1024	—	1024	—	7	1	0	—

	1	.1 —	.6 —	
• —	;			
• —	;			
• —			;	
• —	;			
• —		;		
• —	;			
• —		;		
• —		:		
• —				

57700.36—2021

004:006.354

35.240.50

:

,

,

• •

• •

• •

• •

22.09.2021

04.10.2021.

60*64%.

. . . 4.65. .- . . 4,20.

,

« »

117416

- , . 3t. . 2.

www.goslinfo.ru info@gostnfo.ru